

# Прогнозирование электропотребления техногеноза классическим методом (опыт применения пакета Mathcad-2001)

В. И. Гнатюк, С. Н. Гринкевич

Калининградский пограничный институт

**В** целях корректного управления техногенозом<sup>1</sup> [1–3] часто возникает необходимость в прогнозе электропотребления на следующий временной интервал. Хорошие результаты прогнозирования получают с использованием GZ-методологии<sup>2</sup> [3]. G-методы основаны на классической гауссовой математической статистике и теории временных рядов. Это позволяет точнее учесть индивидуальные свойства функционирующих объектов. Z-методы прогнозирования основываются на цифровой математической статистике и теории структурно-топологической динамики ранговых параметрических распределений. В данном случае, в процессе функционирования элемента техногеноза учитывается в большей степени проявление системных свойств. Таким образом, реализация системы синтетических GZ-методов позволяет органично учесть как индивидуальные, так и системные свойства объектов техногеноза. Z-методы прогнозирования ранее неоднократно публиковались [2–5]. Здесь рассмотрим порядок реализации G-метода в пакете Mathcad.

После сбора статистической информации по электропотреблению техногеноза следующим этапом является анализ собранной информации и прогнозирование на очередной временной шаг [5]. Собранная статистическая информация заносится в файл Microsoft Excel, который должен быть назван «EP.xls» и помещён в директорию «c:\mathcad\_dat», заранее создан-

ную в корневом каталоге диска «c:\». Полученный файл представляет собой таблицу данных по электропотреблению рассматриваемого техногеноза, каждый столбец которой соответствует определённому объекту, а строка — значению электропотребления в очередной месяц года. В данном примере рассмотрим помесячное (за 8 лет предыстории) электропотребление техногеноза, расположенного на территории Калининградской области и состоящего из 69 объектов. Программа реализуется отдельно для каждого объекта.

**Подготовка данных.** Осуществляем импорт данных из файла «EP.xls» в тело программы, задаём начало отсчёта, извлекаем столбец из матрицы (рассматриваем объект № 1), осуществляя логарифмирование данных, выделяем тренд по методу наименьших квадратов и производим его удаление (рис. 1, а, б) [6]:

$M :=$ $i := 1..rows(M)$ $t_i := i$ $A := (X^T X)^{-1} (X^T x_2)$ $x := x_2 - xt$	$\square$ $C:\mathcad_dat\ER.xls$ $x_1 := M^{(1)}$ $P_i := 1$ $X := \text{augment}(P, t)$ $xt := A_1 + A_2 t$
---	--

**Анализ сезонности данных.** Группируем данные (рис. 2) и выделяем зависимость электропотребления объекта от времени года (сезонности) [6]:

$j := 1..12$ $y_{1j} := x_j$ $y_{3j} := x_{(24+j)}$ $y_{5j} := x_{(48+j)}$ $y_{7j} := x_{(72+j)}$	$y_{2j} := x_{(12+j)}$ $y_{4j} := x_{(36+j)}$ $y_{6j} := x_{(60+j)}$ $y_{8j} := x_{(84+j)}$
---	--

Из характера зависимостей (см. рис. 2) можно сделать вывод, что в процессе электропотребления объекта явно прослеживается сезонность [6]: зимой электропотребление выше, летом — ниже.

<sup>1</sup> Теоретическое обоснование методики содержится в [3], а также в полнотекстовом варианте книги на сайте <http://www.baltnet.ru/~gnatukvi>.

<sup>2</sup> Примечание главного редактора. GZ-методы прогнозирования представляют собой одну из реализаций теоретических основ динамики  $H$ -распределений, разработанных в докторской диссертации Фуфаева В. В. "Ценологическое определение параметров электропотребления, надёжности, монтажа и ремонта электрооборудования предприятия региона" (Москва, 2000 г.). Фактически Z-метод прогнозирования — это интерпретация системы методов прогнозирования, основанная на динамике первого рода, а G-метод — на динамике второго рода (структурно-топологической), а не наоборот, как отмечают разработчики GZ-метода.

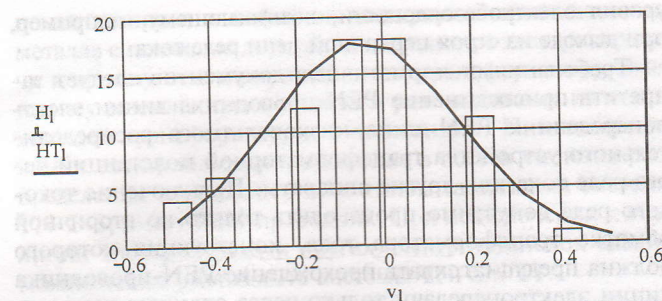


Рис. 6. Проверка на соответствие распределения прогнозных значений электропотребления нормальному закону: гистограмма — расчетные значения; кривая — теоретические значения

ветствие нормальному закону распределения (рис. 6) [6]:

```

MO1p, q := M1p, q - Meq
MO := MO1T
O := stack(MO(1), MO(2), MO(3), MO(4), MO(5), MO(6), MO(7), MO(8))
ORIGIN := 0
m := round(sqrt(length(O)))
h := (max(O) - min(O)) / m
1 := 0..m
Hm+1 := 0
v1 := min(O) + h * 1
H := hist(v, O)
vm+1 := vm + h
 $\sum_i H_i = 95$ 
HT1 := length(O)  $\int_{v_1}^{v_{m+1}} dnorm(u, mean(O), stdev(O)) du$ 

```

$$\begin{aligned}\sum_i H_i &= 94.753 \\ X_i &:= \sum_i \frac{(H_i - HT_i)^2}{HT_i} \\ X &= 18.307\end{aligned}$$

$$\begin{aligned}X &:= qchisq(0.95, 10) \\ X &= 4.637\end{aligned}$$

Так как  $X_i < X$ , то гипотезу принимаем: остатки распределены по нормальному закону. Это, в свою очередь, свидетельствует о корректности прогноза G-методом для данного объекта.

#### СПИСОК ЛИТЕРАТУРЫ

1. Кудрин Б. И. Введение в технетику. Томск: Изд-во ТГУ, 1993. 552 с.
2. Кудрин Б. И., Жилин Б. В., Лагуткин О. Е., Ошурков М. Г. Ценологическое определение параметров электропотребления многономенклатурных производств. Тула: Приок. кн. изд-во, 1994. 122 с.
3. Гнатюк В. И. Закон оптимального построения техноценозов. М.: ЦСИ, 2004. — <http://www.balnet.ru/~gnatukvi/ind.html>.
4. Гнатюк В. И., Северин А. Е. Ранговый анализ и энергосбережение. Калининград: ЗНЦ РАН — КВИ ФПС РФ, 2003. 120 с.
5. Гнатюк В. И. и др. // Электрика. 2003. № 2—6. Цикл статей, раскрывающих опыт применения пакета Mathcad-2001 для решения задач рангового анализа техноценозов.
6. Королюк В. С., Портенко Н. И. и др. Справочник по теории вероятностей и математической статистике. М.: Наука, 1985. 640 с.

## Типы заземления системы<sup>1</sup>

В. Н. Харечко, Ю. В. Харечко

### Формирование различных типов заземления системы в системе распределения электроэнергии

При подключении нескольких электроустановок зданий к одной и той же низковольтной распределительной электрической сети, например уже существующей, могут быть легко реализованы три типа заземления системы: TN-C, TN-C-S и TT. На рис. 18 условно показано подключение трёх электроустановок зданий, представленных в виде трехфазных электроприемников класса I, к одной (общей) распределительной электрической сети, состоящей из понижающей трансформаторной подстанции и воздушной или кабельной линии электропередачи. Каждая электроустановка здания имеет заземляющее устройство.

Даже простой анализ упомянутой иллюстрации позволяет выявить одну очень важную особенность "нулевого проводника" линий электропередачи. В зависимости от типа заземления системы, реализованного в совокупности, которая включает в себя общую распределительную электрическую сеть и конкретную электроустановку здания, он может выполнять разные функции. Для электроустановок первого и второго зданий "нулевой проводник" ВЛ (КЛ) является по своей сути совмещённым нулевым защитным и рабочим проводником, а для электроустановки третьего здания — только нулевым рабочим, т. е. в зависимости от типа заземления системы один и тот же "нулевой проводник" линии электропередачи низковольтной распределительной электрической сети может выполнять функции как PEN-проводника, так и нулевого рабочего проводника.

<sup>1</sup> Продолжение. Начало см. в № 10, 2004 г., № 1, 8, 10—12, 2005 г. Нумерация рисунков и литературы сквозная.